

Fig. 1

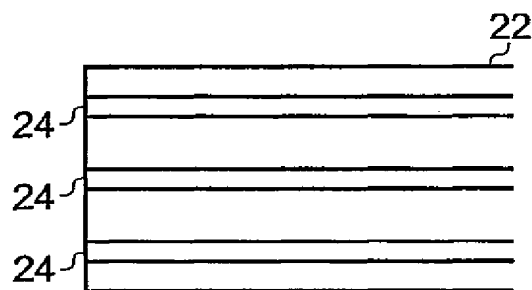


Fig. 2A

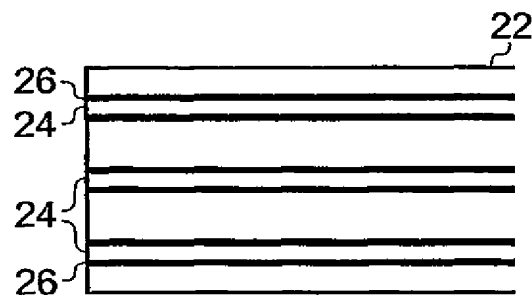


Fig. 2B

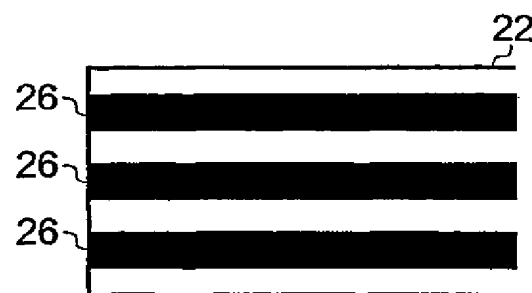


Fig. 2C

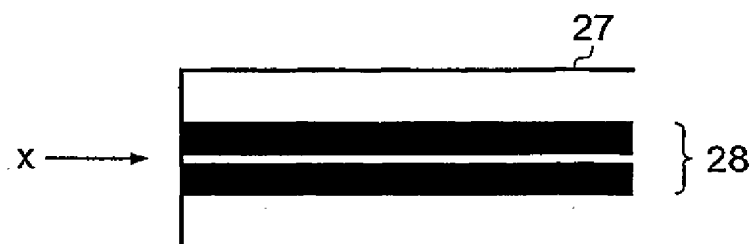


Fig. 2D

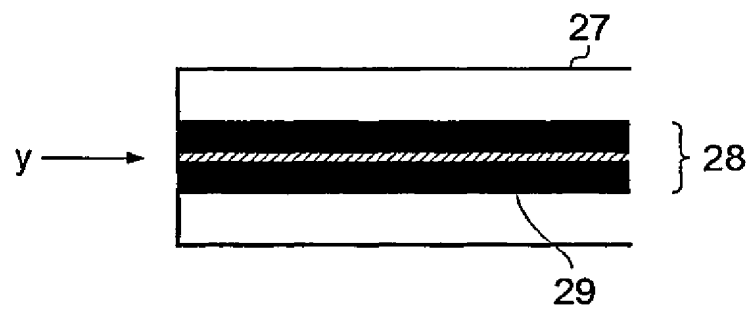


Fig. 2E

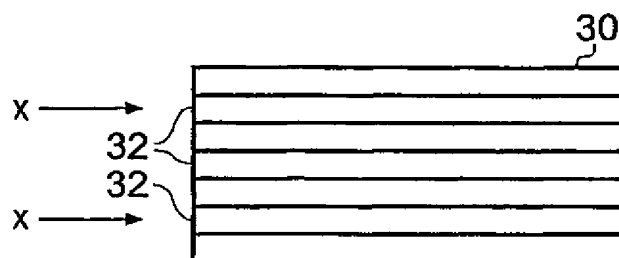


Fig. 3A

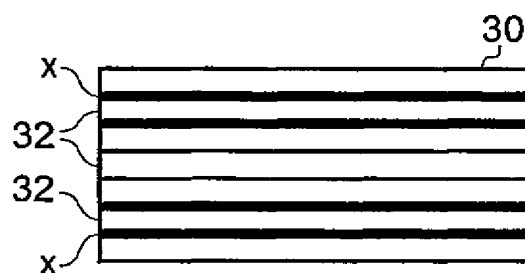


Fig. 3B

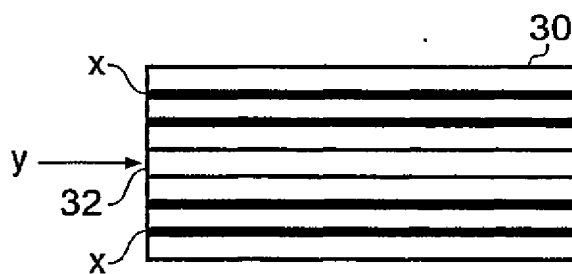


Fig. 3C

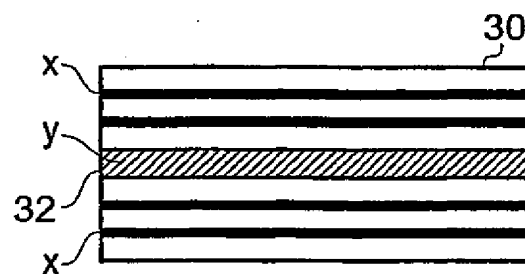


Fig. 3D

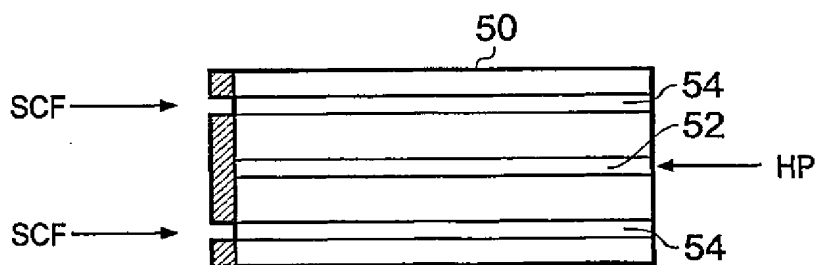
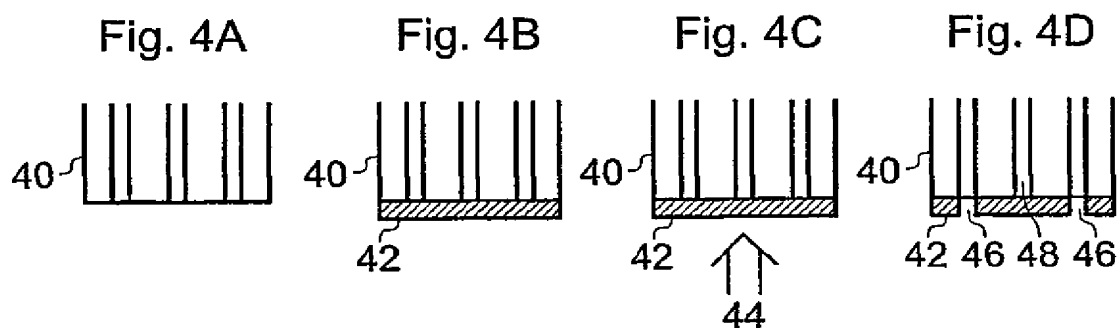


Fig. 5

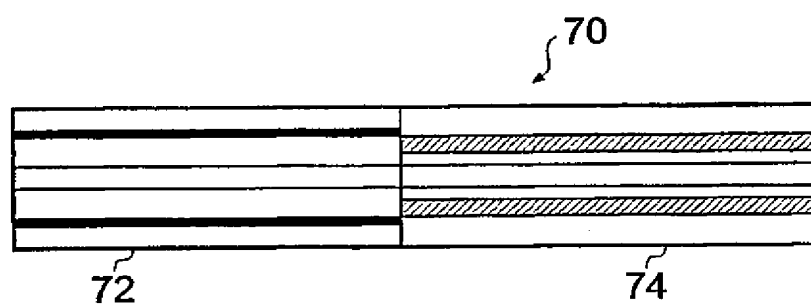


Fig. 7

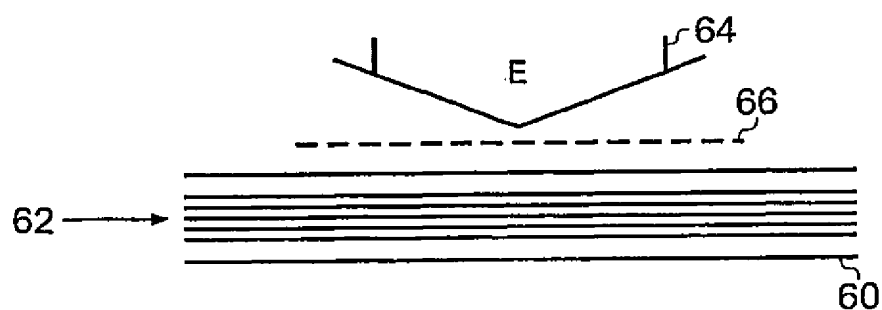


Fig. 6A

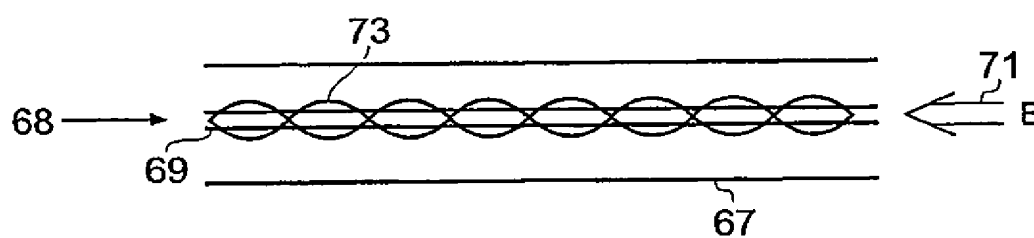


Fig. 6B

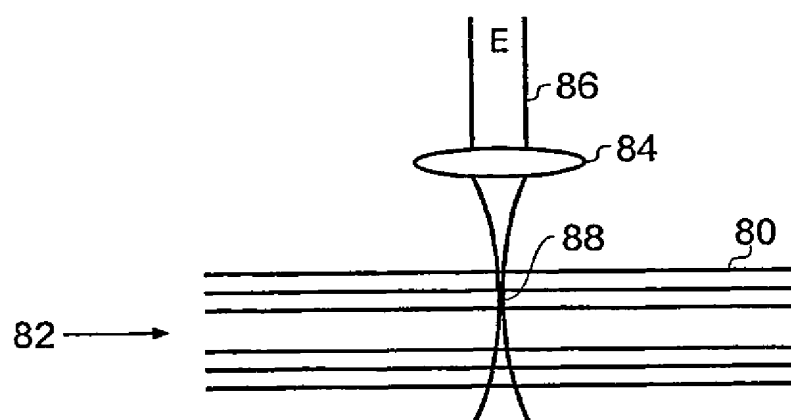


Fig. 6C

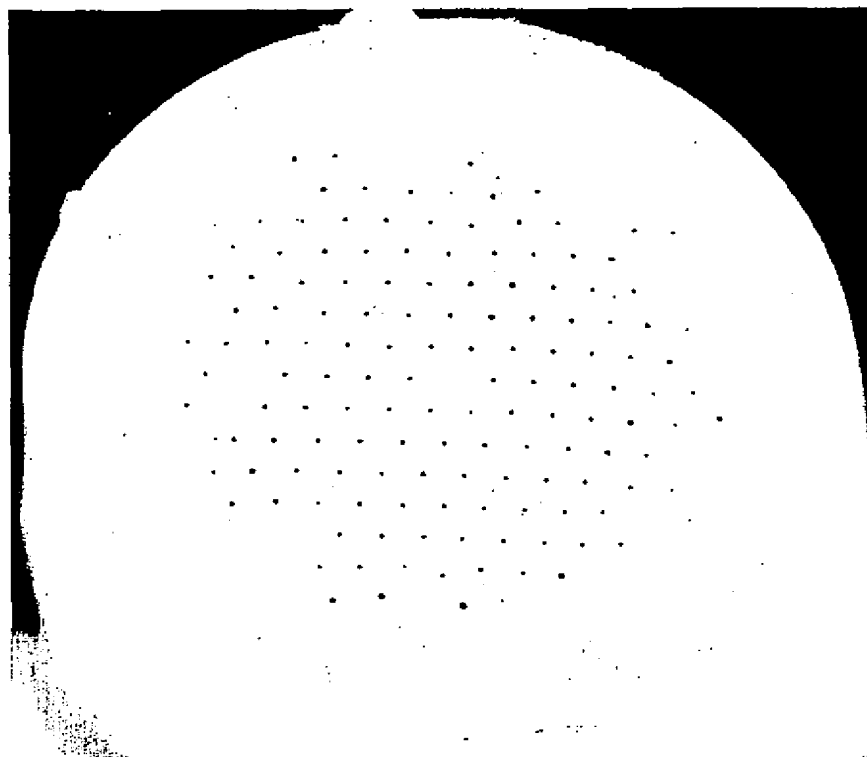


Fig. 8A

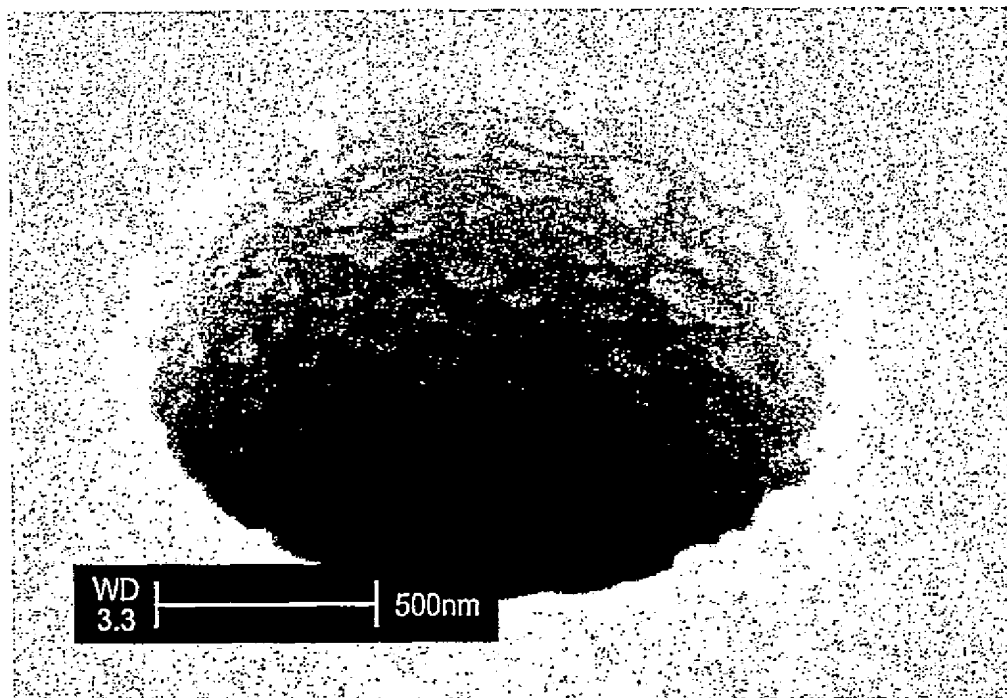


Fig. 8B

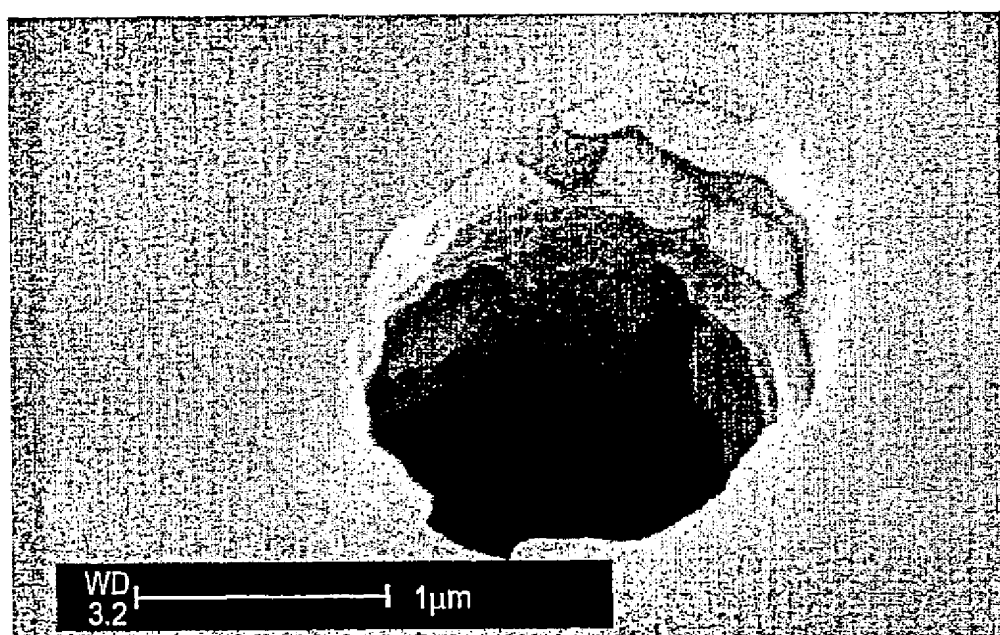


Fig. 8C



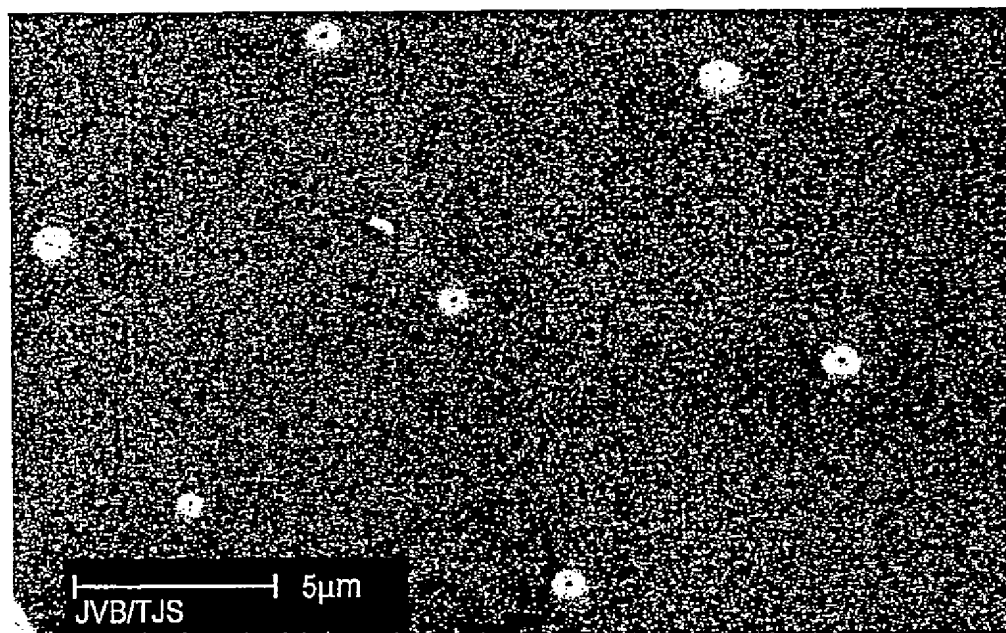


Fig. 8D

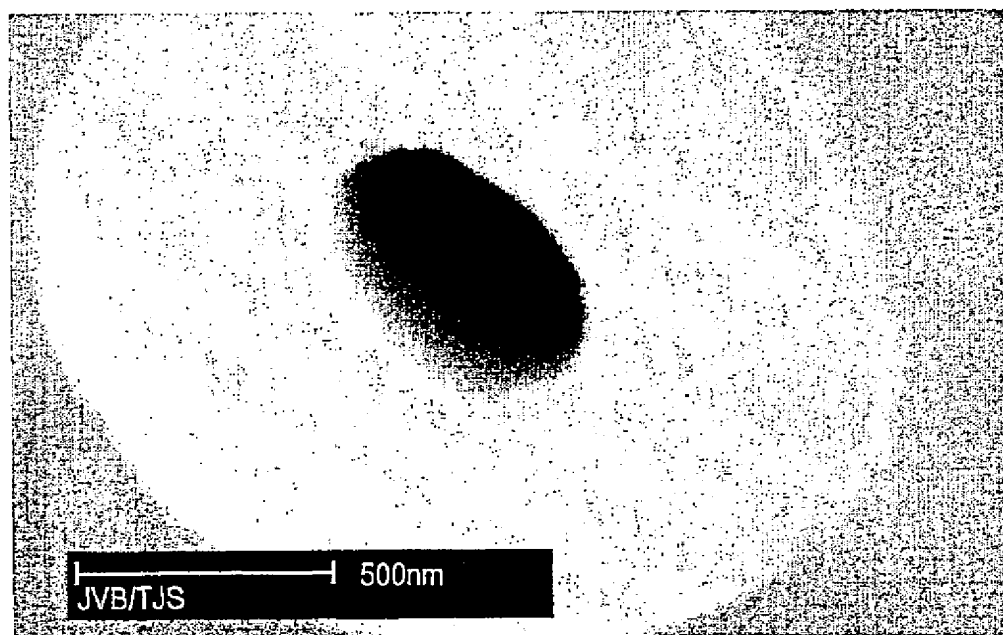


Fig. 8E

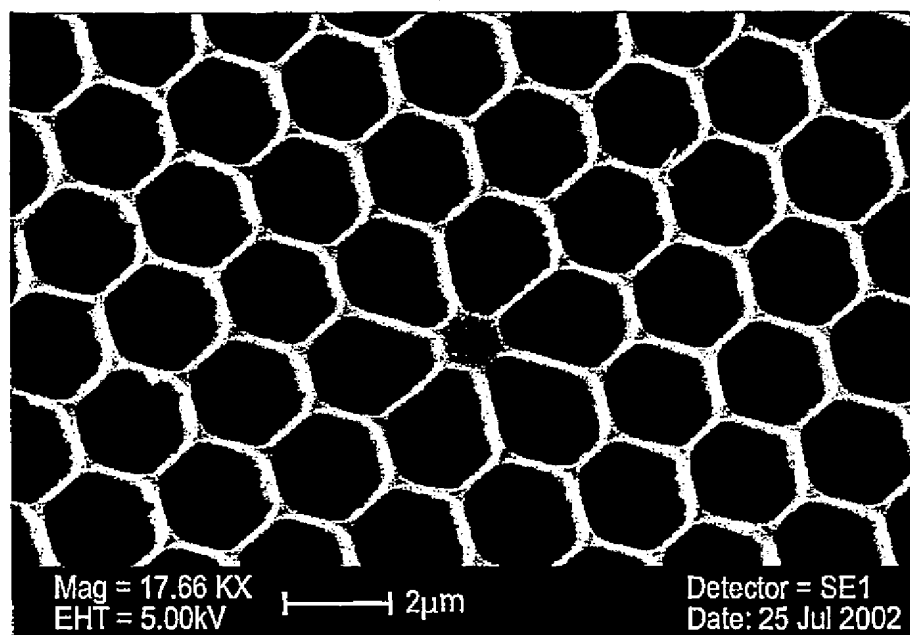


Fig. 9A

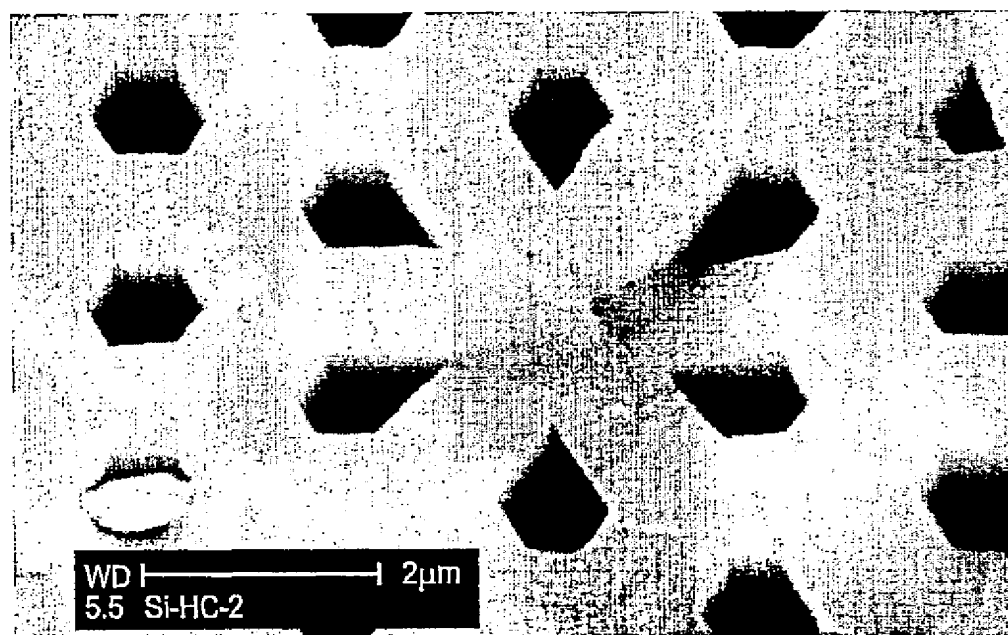


Fig. 9B

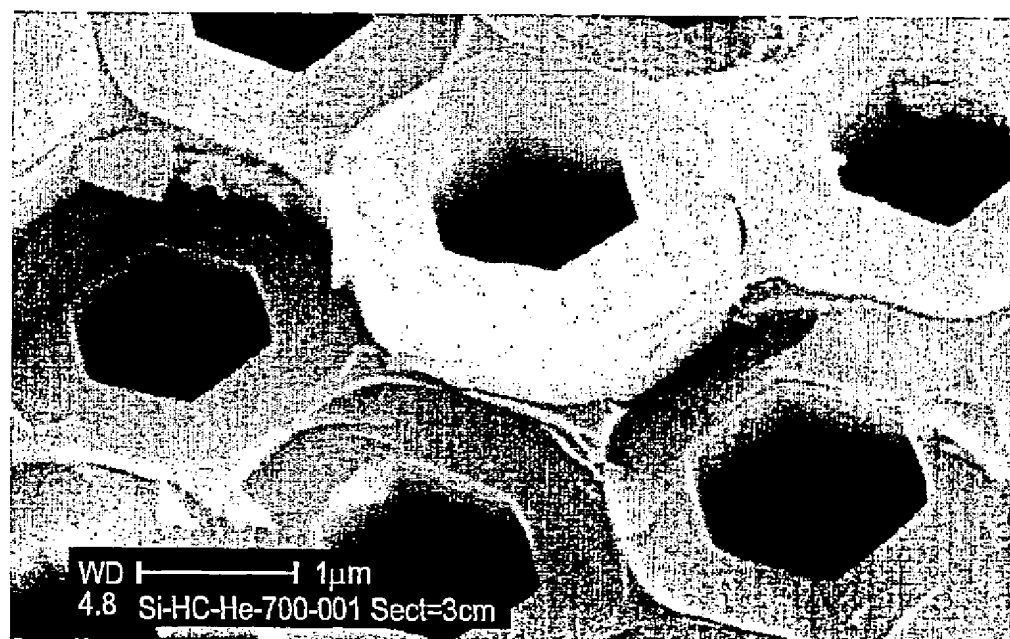


Fig. 9C

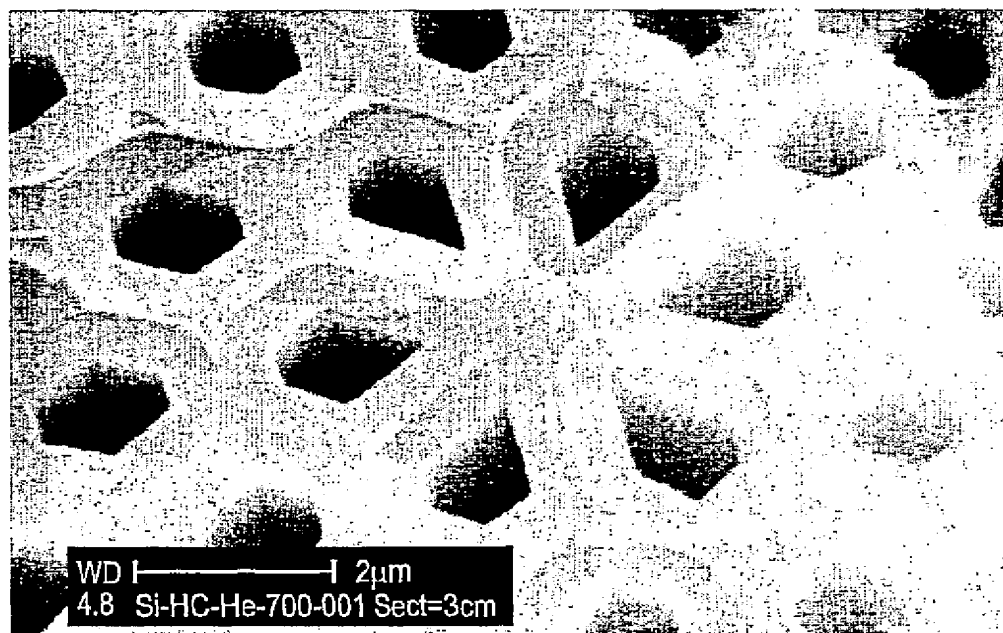


Fig. 9D

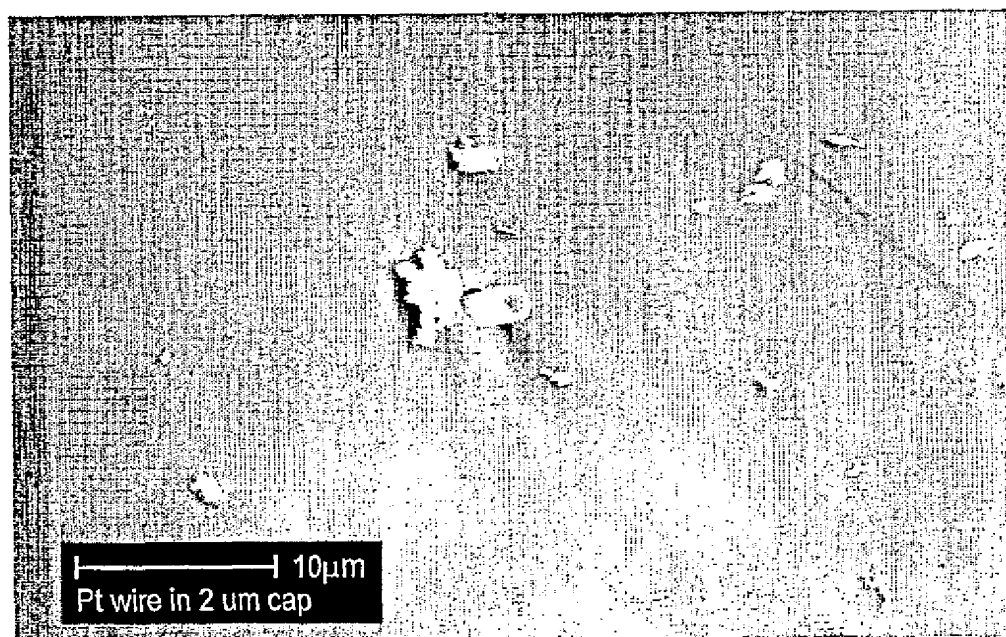


Fig. 10A

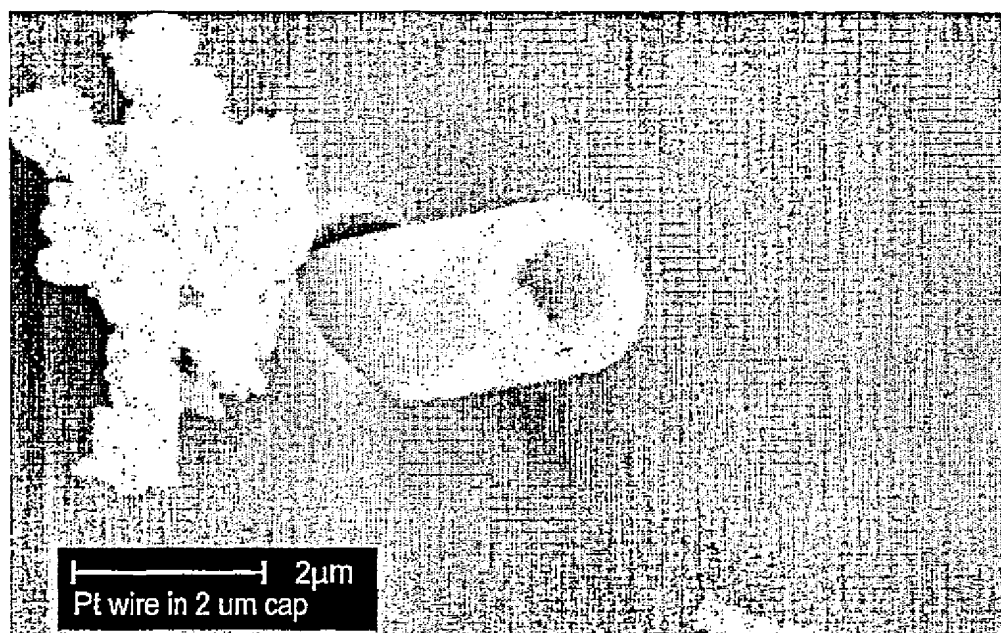


Fig. 10B



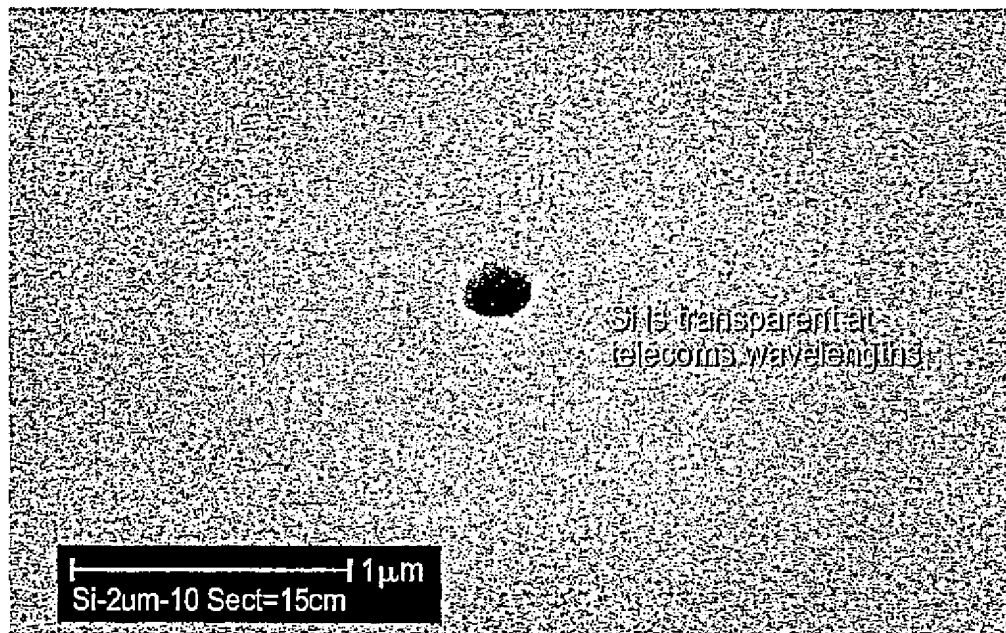


Fig. 11A



Fig. 11B

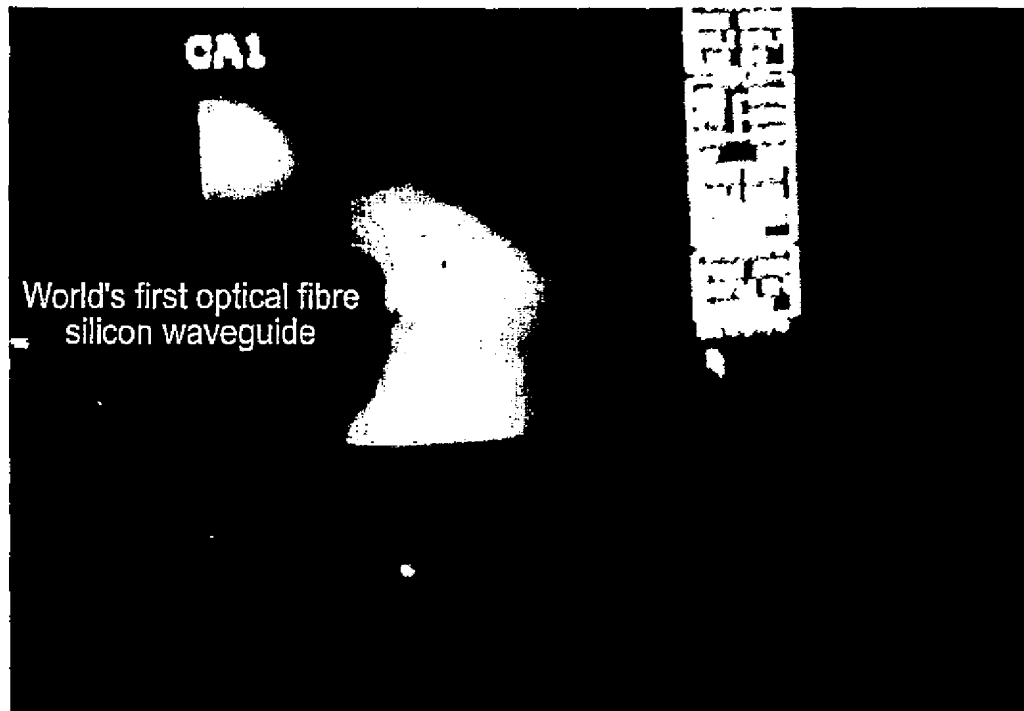


Fig. 11C

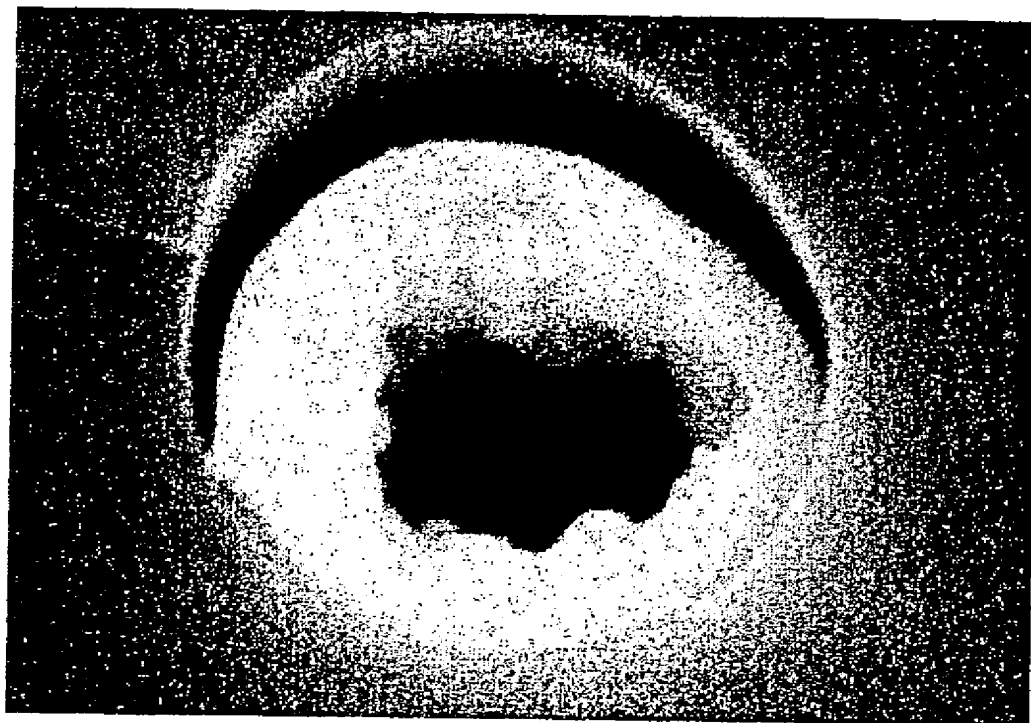


Fig. 12

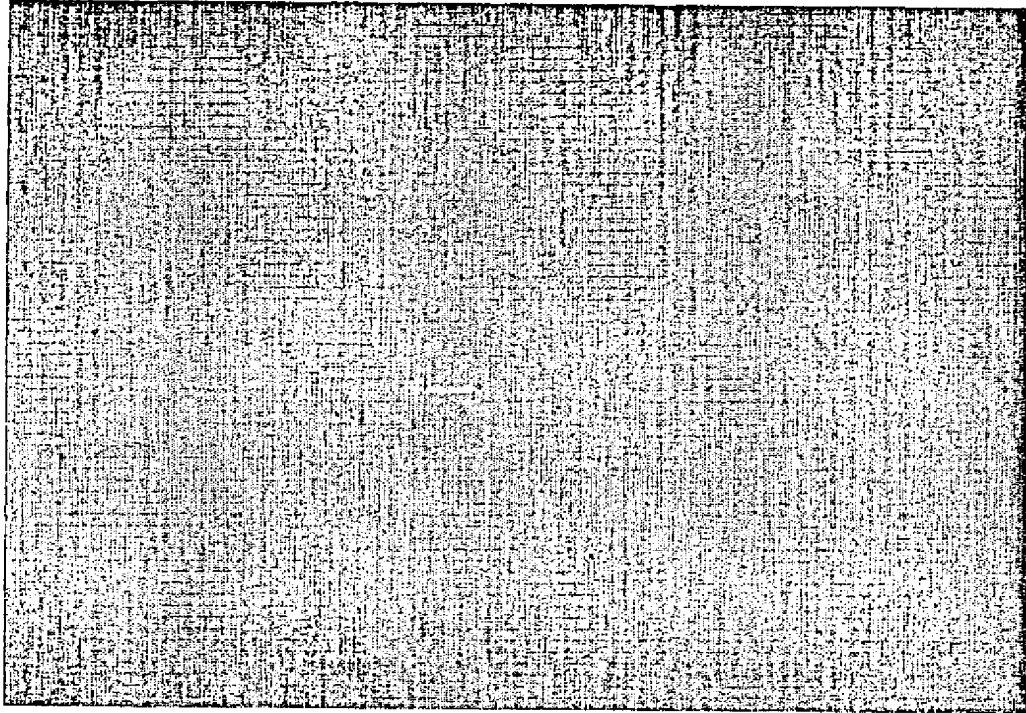


Fig. 13

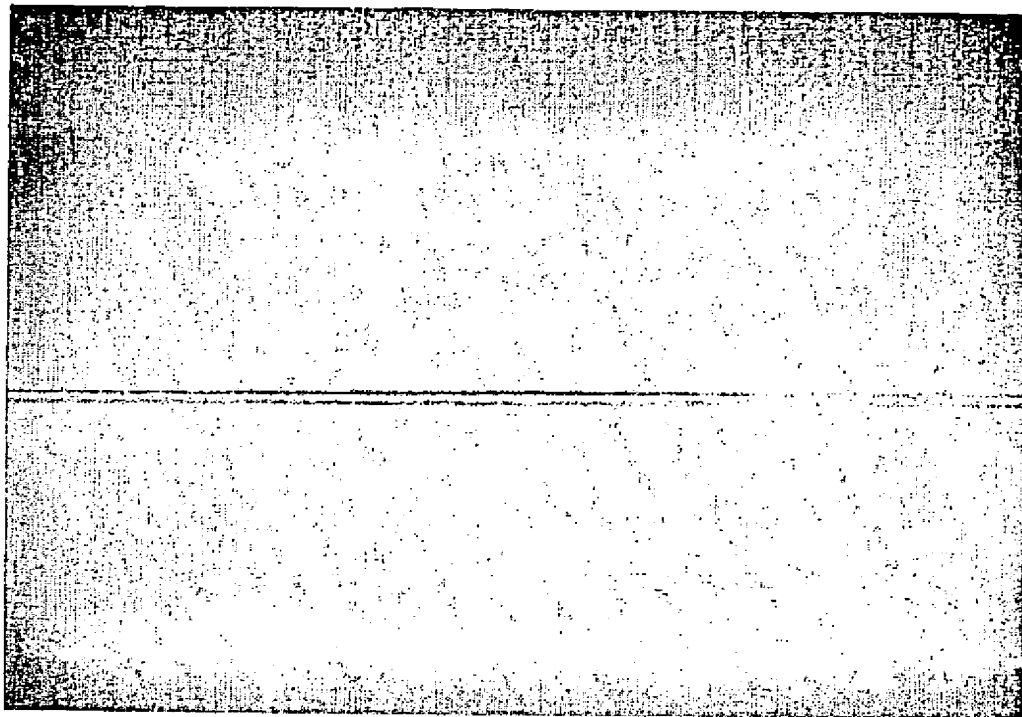


Fig. 14

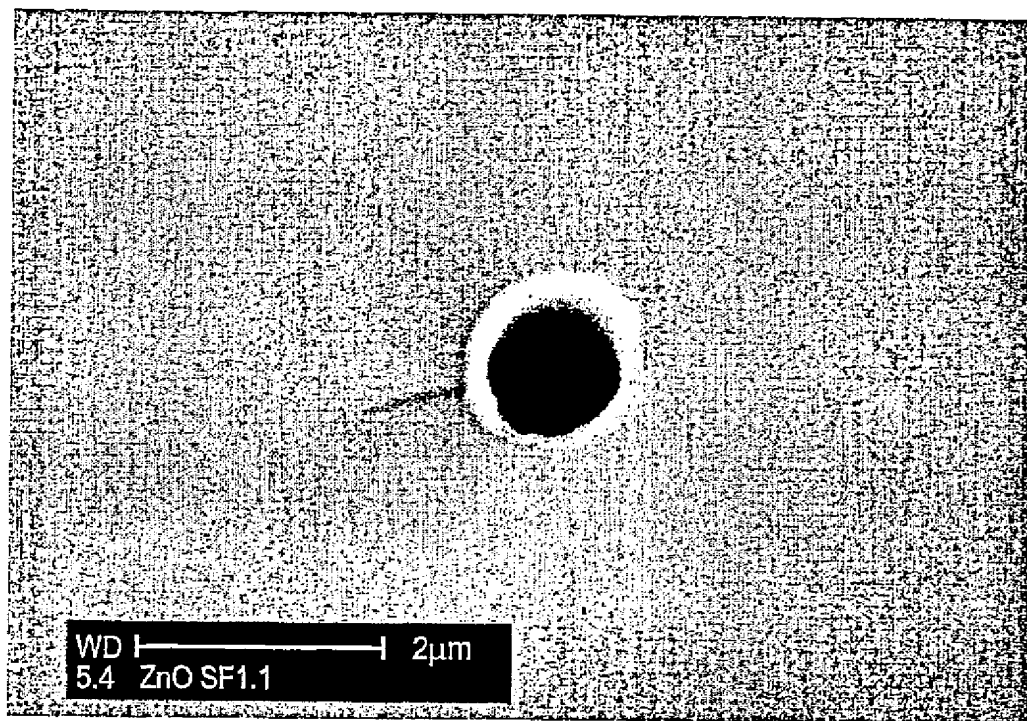


Fig. 15

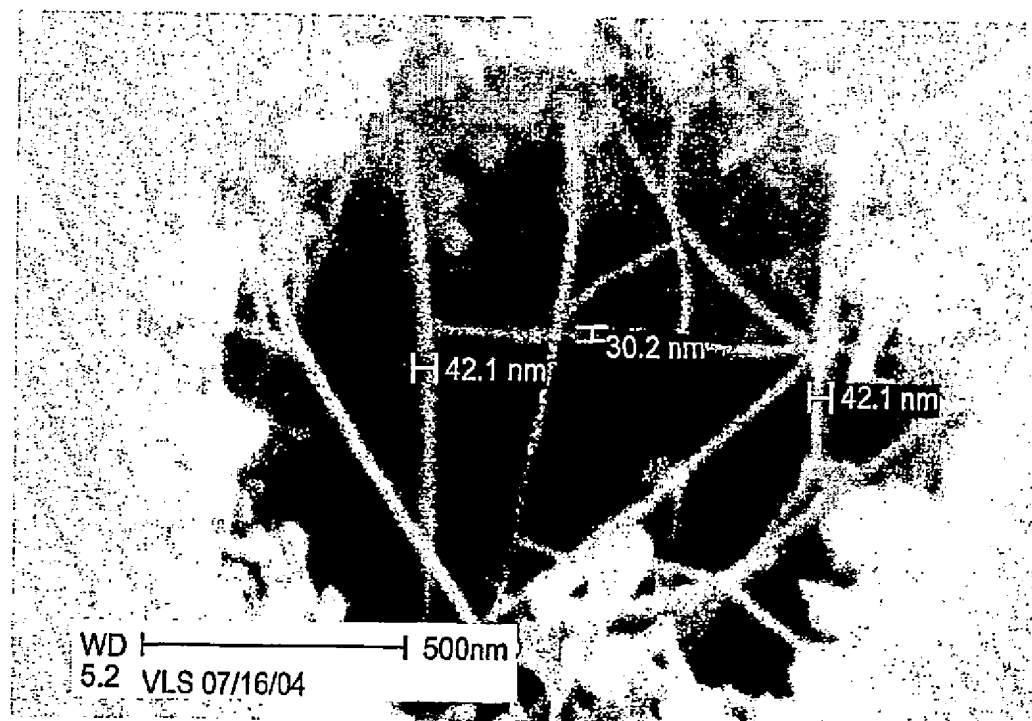


Fig. 16



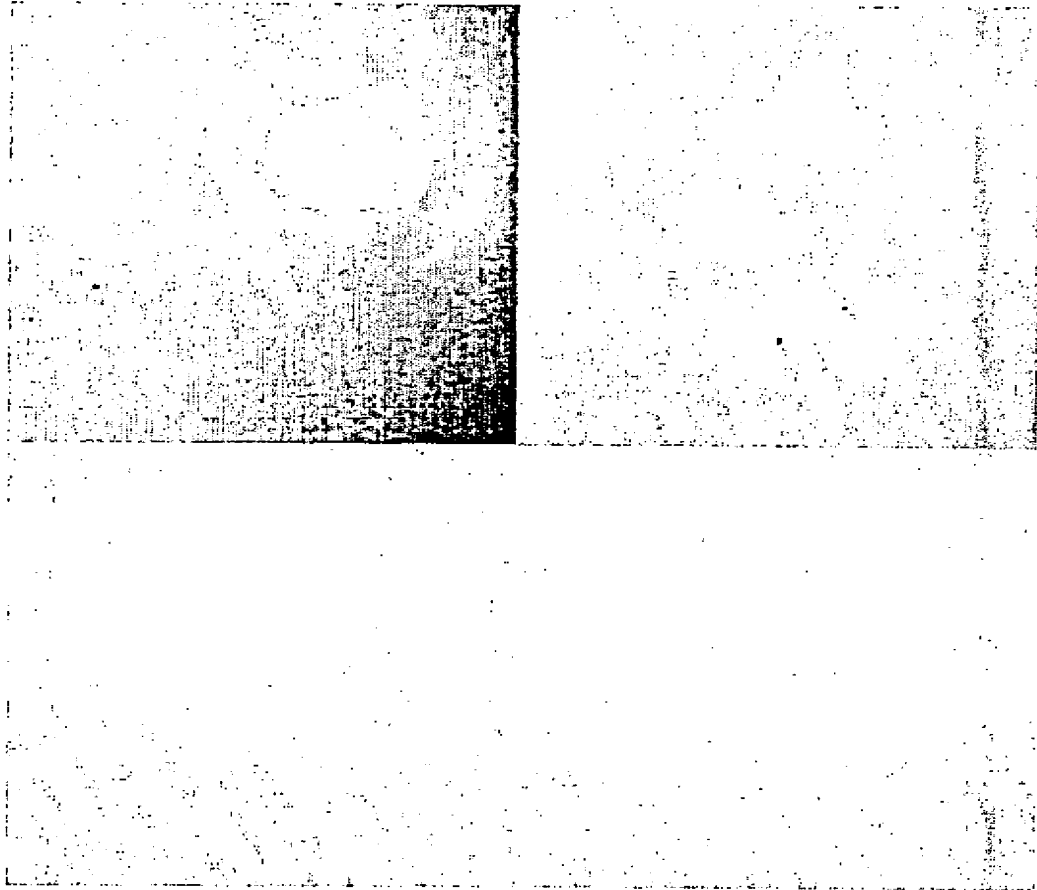


Fig. 17

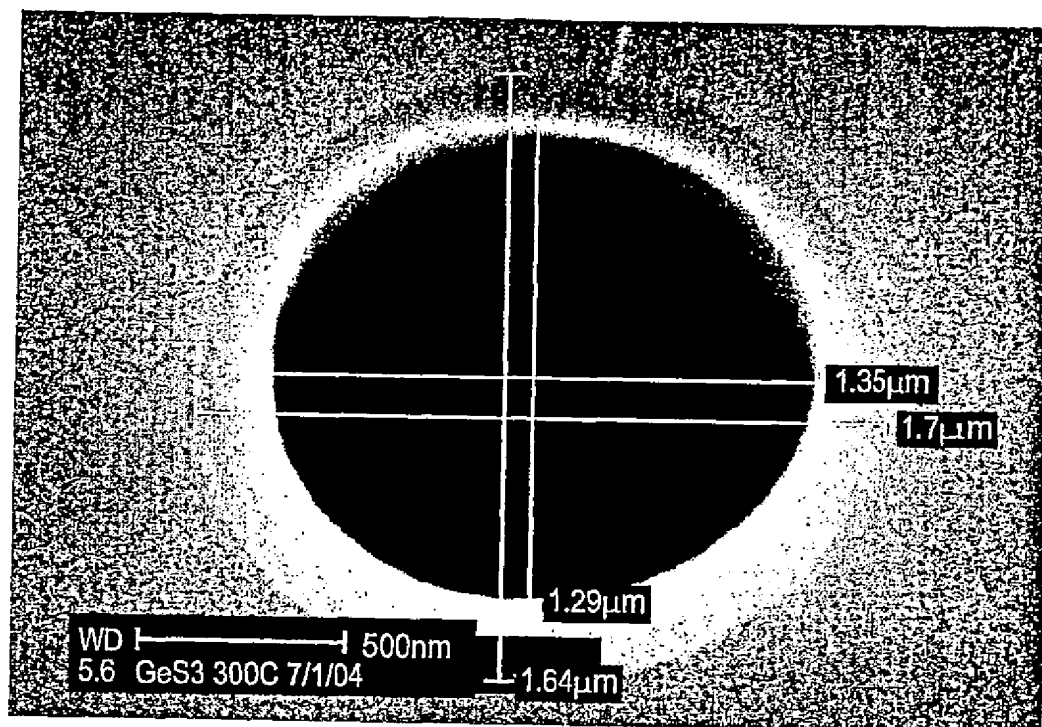


Fig. 18

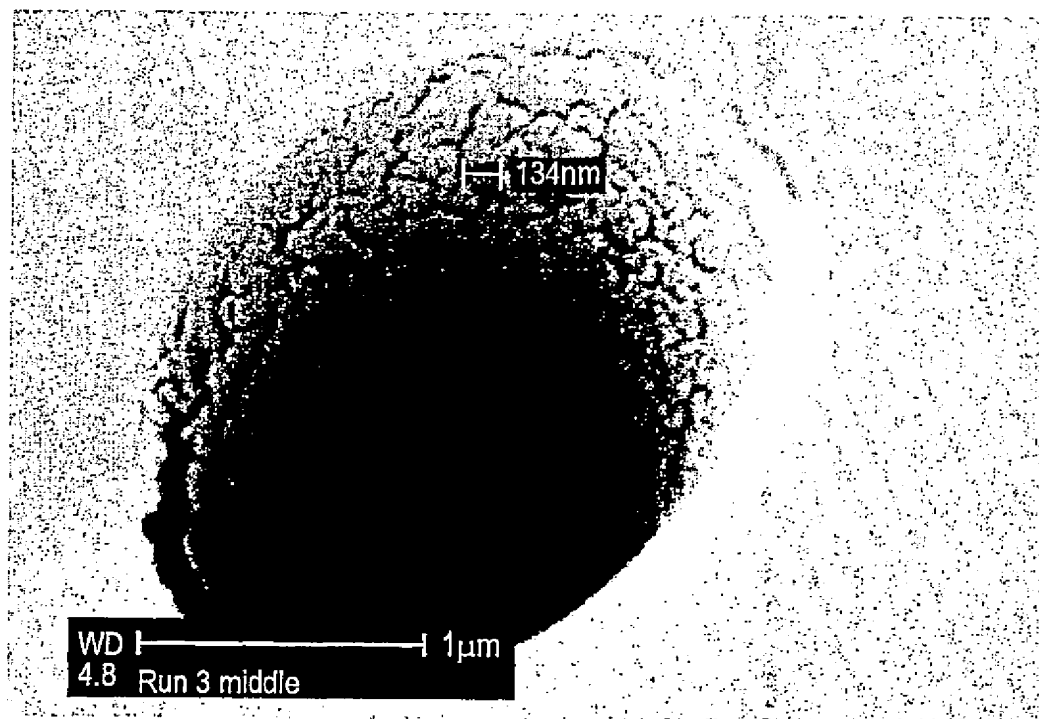


Fig. 19A

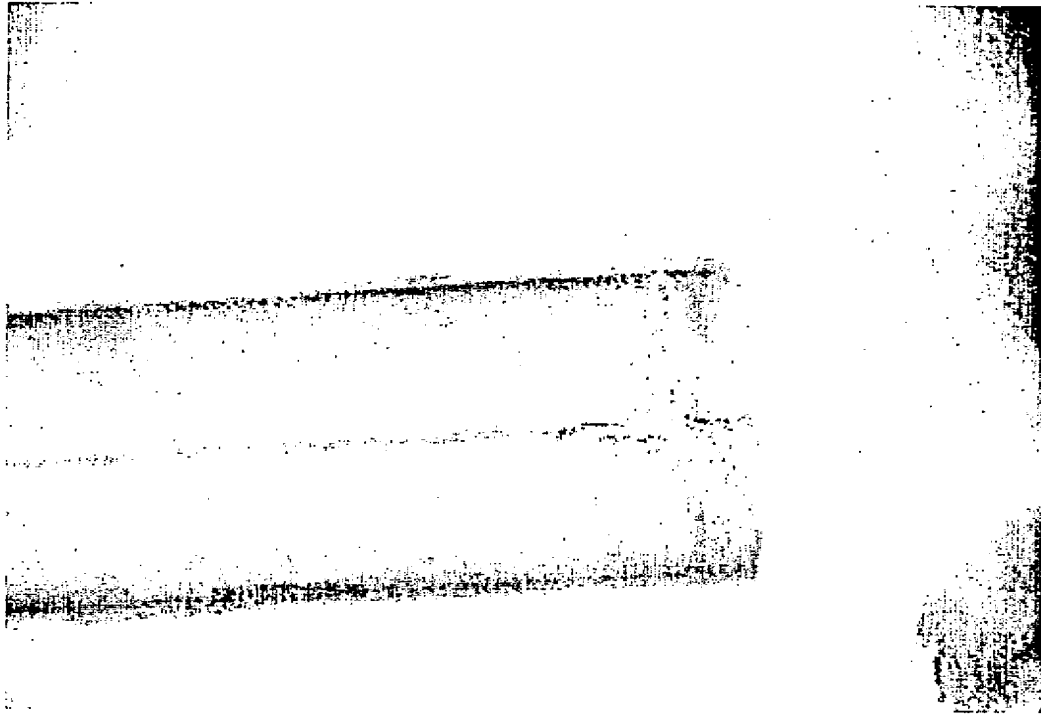
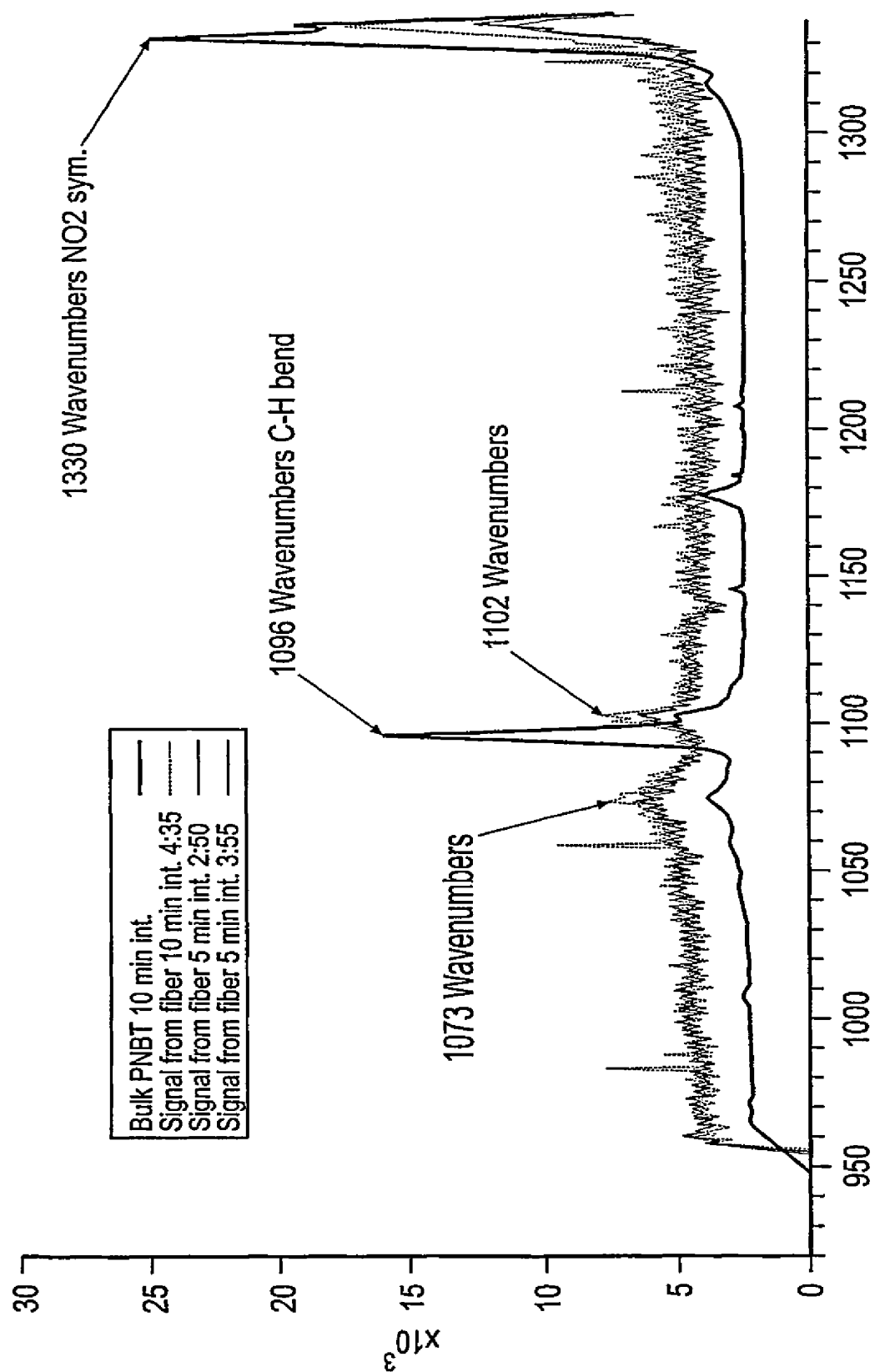


Fig. 19B



Wavenumbers

Fig. 19C